

بہ نام خدا پی کہ ہمین نژادیکیست

۱۱۸۲۶



دانشکده مهندسی

پایان نامه کارشناسی ارشد در رشته مهندسی مکانیک (تبدیل انرژی)

بررسی انتقال حرارت جابجایی طبیعی و تقطیر در جریان آرام هوا

روی لوله سرد افقی

توسط:

همایون همایونی

جعفر عالی
دانشکده مهندسی
دانشگاه شهید رجایی

۱۳۸۸ / ۱ / ۲۳

استاد راهنما:

دکتر محمود یعقوبی

مهر ماه ۱۳۸۷

۱۱۵۲۶۳

به نام خدا

اظهارنامه

اینجانب همایون همایونی دانشجوی رشته‌ی مهندسی مکانیک گرایش تبدل انرژی
دانشکده‌ی مهندسی اظهارنامی کنم که:

این پایان نامه حاصل پژوهش خودم بوده و در جاهایی که از منابع دیگران استفاده
کرده‌ام، نشانی دقیق و مشخصات کامل آن را نوشته‌ام. همچنین اظهارنامی کنم که تحقیق و
موضوع پایان نام هام تکراری نیست و تعهد می‌نمایم که بدون مجوز دانشگاه دستاوردهای آن
را منتشر ننموده و یا در اختیار غیر قرار ندهم. کلیه حقوق این اثر مطابق با آیین نامه مالکیت
فکری و معنوی متعلق به دانشگاه شیراز است.

نام و نام خانوادگی: همایون همایونی

تاریخ و امضا: ۱۳۸۸/۱/۳۰



به نام خدا

بررسی انتقال حرارت جابجایی طبیعی و تقطیر در جریان آرام هوا روی لوله سرد افقی

به وسیله‌ی:

همایون همایونی

پایان نامه

ارائه شده به تحصیلات تکمیلی دانشگاه به عنوان بخشی
از فعالیتهای لازم برای اخذ درجه کارشناسی ارشد

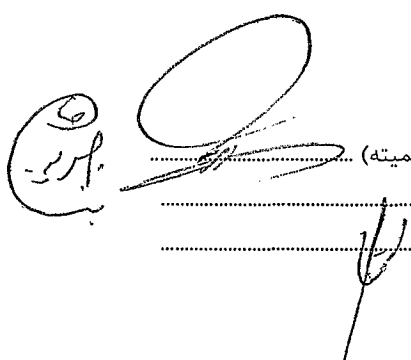
در رشته‌ی:

مهندسی مکانیک (تبدیل انرژی)

از دانشگاه شیراز

شیراز

جمهوری اسلامی ایران



مهر ماه ۱۳۸۷

ارزیابی شده توسط کمیته پایان نامه با درجه: عالی

دکتر محمود یعقوبی، استاد بخش مهندسی مکانیک (رئیس کمیته)

دکتر خسرو جعفر پور، دانشیار بخش مهندسی مکانیک

دکتر همایون امداد، استاد یار بخش مهندسی مکانیک

تَعْدِيْم

مَدْرَسَةِ خُواهِرِ عَزِيزِيْم

كَمْ يَارِيْكَرْ مَنْ دَرْنَامْ دُورَانْ تَحْصِيلِيْمْ بُودَنْ

با پاس از تمام بلند آموزشی که در انجام این پروژه از پیچ همکنگی
کوتاهی نکردند و غریزانی که حاضره خوش درکارستان بودن فراموش
نشدند.

چکیده

بررسی انتقال حرارت جابجایی طبیعی و تقطیر در جریان آرام هوا روی لوله سرد افقی

به وسیلهٔ

همایون همایونی

در این پژوهش انتقال حرارت جابجایی طبیعی به همراه تغییر فاز از بخار به مایع در هوای مرطوب اطراف یک لوله سرد افقی بررسی گردیده است. مطالعات برای شرایط مختلف هوا و لوله انجام گرفته است. برای انجام شرایط متفاوت رطوب هوا از ۴۰٪ تا ۱۰۰٪، دمای هوا از ۵ تا ۳۰ درجه، دمای سطح لوله از ۰ تا ۱۰ درجه سانتیگراد و فشار هوا یک اتمسفر در نظر گرفته شده است. برای بررسی انتقال حرارت جابجایی طبیعی سه روش نیمه تشابهی، نیمه تشابهی اصلاح شده و روش حجم محدود استفاده و مقایسه گردیده است. برای محاسبه تقطیر روی لوله در شرایط آزاد از تشابه انتقال جرم و انتقال حرارت استفاده گردیده است. نتایج بدست آمده از روش نیمه تشابهی اصلاح شده که با استفاده از روش پرتوبریشن بدست آمده است با نتایج موجود تجزیی و محاسباتی برای لوله های گرم همخوانی بسیار عالی نشان می دهد. دو روش اول نشان دهنده ناتوانایی روشهای نیمه تشابهی در جریانهای موافق می باشند. به همین دلیل روش حجم محدود نیز برای مدل سازی لوله های با سطح سرد به کار گرفته شده است. نتایج برای قسمت تقطیر شامل تغییرات ضخامت لایه مایع تشکیل شده روی سطح استوانه، تغییرات دمای سطح فیلم، تغییرات محلی شار جرمی و نرخ تقطیر بر حسب عدد رایلی کمتر از 10^8 ارائه گردیده است. نتایج بدست آمده برای میزان آب تقطیر شده و ضریب گرمایی با وجود تغییر فاز روی سطح لوله برای طراحی دستگاههای آزمایشگاهی شبیه ساز تقطیر و همچنین سیستمای تهویه مطبوع استفاده می گردد. نتایج واستگی بالای نرخ تقطیر به میزان رطوبت هوا را نشان می دهد، البته ضخامت لایه تقطیر شده بسیار کم و چسبیده به سطح می باشد و در حدود زاویه 170 درجه از سطح جدا می شود.

فهرست مطالب

صفحه	عنوان
۱	فصل اول..... ۱-۱- مقدمه
۲	۱-۲- پیشینه تحقیق
۳	۱-۳- اهداف این پژوهش:
۱۱	
۱۲	فصل دوم..... ۱-۲- مقدمه
۱۳	۱-۲-۲- انتقال گرمای جابجائی
۱۴	۱-۲-۲-۱- مقدمه
۱۵	۱-۲-۲-۲- لایه مرزی حرارتی
۱۸	۱-۲-۳- ۳- جابجایی طبیعی: ۱-۳-۲- تقریب بوسینیسکی برای لایه مرزی:
۱۹	۱-۳-۲- تقطیر
۱۹	۱-۳-۲-۱- مکانیزم های فیزیکی
۲۱	۱-۳-۲-۲- تقطیر لایهای آرام روی یک سطح قائم
۲۷	فصل سوم..... ۱-۳- مقدمه
۲۸	۱-۳-۲- انتقال حرارت جابجائی
۲۹	

۲۹	۳-۱-۲-روش نیمه تشابهی
۳۲	۳-۲-۲-روش نیمه تشابهی اصلاح شده:
۳۷	۳-۲-۳-روش حل دستگاه معادلات دیفرانسیل
۳۷	۳-۲-۳-۱-روش رانج-کوتا
۳۹	۳-۲-۲-۲-معادلات دیفرانسیل همزمان و کوپل
۴۱	۳-۲-۲-۳-مسائل با مقادیر مرزی:
۴۳	۳-۲-۳-روش حجم محدود:
۴۵	۳-۲-۳-۲-وابستگی فشار- سرعت
۴۶	۳-۳- نقطیر
۴۹	-فصل چهارم
۵۰	۴-۱-مقدمه
۵۱	۴-۲-شرایط مسئله
۵۲	۴-۳-بررسی نتایج
۵۲	۴-۳-۱-روش نیمه تشابهی
۵۹	۴-۳-۲-روش نیمه تشابهی اصلاح شده (MNS)
۷۱	۴-۳-۳-روش حجم محدود:
۷۹	۴-۳-۴- نقطیر
۸۳	۴-۳-۴-۵ نتایج نقطیر
۹۶	۴-۴- جمع بندی
۹۷	۴-۵- پیشنهادات
۹۸	پیوست
۱۰۶	مراجع

فهرست شکل‌ها

صفحه	عنوان
۴	شکل ۱-۱ جریان اجباری روی صفحه تخت
۵	شکل ۱-۲ جریان جابجایی اجباری و طبیعی روی دیواره عمودی
۶	شکل ۱-۳ تقطیر روی صفحه سرد عمودی
۹	شکل ۱-۴ دستگاه مختصات در کار یه
۱۰	شکل ۱-۵ دستگاه مختصات در کار مولا و همکاران
۱۴	شکل ۲-۱ لایه مرزی دما روی صفحه تخت
۱۶	شکل ۲-۲ جریان طبیعی روی دیوار عمودی
۱۹	شکل ۲-۳ تقطیر همگن با تشکیل مه
۱۹	شکل ۲-۴ تقطیر تماس مستقیم
۲۰	شکل ۲-۵ تقطیر روی یک سطح قائم
۲۱	شکل ۲-۶ لایه مرزی مایع روی سطح قائم
۲۲	شکل ۲-۷ شرایط مرزی روی لایه مایع
۳۰	شکل ۳-۱ مدل فیزیکی در روش نیمه تشابهی و روش نیمه تشابهی اصلاح شده
۴۳	شکل ۳-۲ نمایش سعی و خطا در مسائل مقادیر مرزی
۵۴	شکل ۴-۱ تغییرات خطای نسبی (η) ^θ در مقایسه با (OSTERACH 1952)
۵۵	شکل ۴-۲ تغییرات f' بر حسب $θ$ در زوایای مختلف و $Pr=1$
۵۵	شکل ۴-۳ تغییرات سرعت بر حسب $θ$ در زوایای مختلف و $Ra_D = 10^7$
۵۷	شکل ۴-۴ تغییرات پارامتر بدون بعد دما بر حسب $θ$ در زوایای مختلف و $Pr=1$
۵۸	شکل ۴-۵ خطوط همدما از زاویه صفر تا 90° با $Pr=1$
۵۸	شکل ۴-۶ تغییرات $θ'$ بر حسب $θ$ در زوایای مختلف در $Pr=1$
۵۹	شکل ۴-۷ مقایسه عدد ناسلت محلی از روش نیمه تشابهی با نتایج تهور و یعقوبی
۲۰۰۸	

..... شکل ۴-۸ خطوط همدم از زاویه صفر تا 180° درجه در $Pr=1$	۶۲
..... شکل ۴-۹ خطوط جریان از صفر تا 180° درجه با $Pr=1$	۶۲
..... شکل ۴-۱۰ تغییرات $(y, x)'f$ در زاویه $\frac{\pi}{6}$ برای جریانهای با پرانتل‌های مختلف داخل لایه مرزی	۶۳
..... شکل ۴-۱۱ تغییرات $(y, x)'f$ در زاویه $\frac{2\pi}{3}$ برای جریانهای با پرانتل‌های مختلف داخل لایه مرزی	۶۳
..... شکل ۴-۱۲ پروفیل سرعت بدون بعد در راستای مماس بر سطح لوله در زاویه $\frac{\pi}{6}$ برای جریانهای با پرانتل‌های مختلف داخل لایه مرزی	۶۵
..... شکل ۴-۱۳ پروفیل سرعت بدون بعد در راستای مماس بر سطح لوله در زاویه $\frac{2\pi}{3}$ برای جریانهای با پرانتل‌های مختلف داخل لایه مرزی	۶۵
..... شکل ۴-۱۴ تغییرات $(\eta)^\theta$ در زاویه $\frac{\pi}{6}$ برای جریانهای با پرانتل‌های مختلف	۶۶
..... شکل ۴-۱۵ تغییرات $(\eta)^\theta$ در زاویه $\frac{2\pi}{3}$ برای جریانهای با پرانتل‌های مختلف	۶۶
..... شکل ۴-۱۶ تغییرات ضریب اصطکاک پیرامون لوله افقی در جریان آزاد	۶۷
..... شکل ۴-۱۷ تغییرات پارامتر بدون بعد $C_f Gr^{-1/4}$ روی سطح لوله	۶۸
..... شکل ۴-۱۸ تغییرات عدد ناسلت روی لوله افقی در جریان طبیعی	۶۹
..... شکل ۴-۱۹ تغییرات پارامتر بدون بعد $Nu Gr^{-1/4}$ محلی روی لوله افقی در جریان طبیعی.	۶۹
..... شکل ۴-۲۰ دامنه محاسباتی مورد استفاده در روشن حجم محدود	۷۳
..... شکل ۴-۲۱ شبکه محاسباتی استفاده شده در اطراف لوله با قطر ۴ اینچ	۷۳
..... شکل ۴-۲۲ کانتورهای سرعت در اطراف یک لوله با قطر ۴ اینچ	۷۴
..... شکل ۴-۲۳ کانتورهای دما در اطراف یک لوله با قطر ۴ اینچ	۷۵
..... شکل ۴-۲۴ کانتورهای دما در اطراف یک لوله با قطر ۲ اینچ	۷۵
..... شکل ۴-۲۵ کانتورهای سرعت در اطراف یک لوله با قطر ۲ اینچ	۷۶
..... شکل ۴-۲۶ مقایسه مقدار عدد ناسلت محلی برای عدد رایلی 10^6 با دو حل موجود برای لوله گرم و سرد	۷۷
..... شکل ۴-۲۷ عدد ناسلت محلی برای عدد رایلی مختلف در جریان آزاد اطراف لوله سرد	۷۸
..... شکل ۴-۲۸ مقایسه مقدار عدد ناسلت متوسط برای عدد رایلی مختلف با دو حل موجود برای لوله گرم و سرد	۷۸

شکل ۴-۲۹ مقایسه مقدار عدد ناسلت متوسط برای اعدد رایلی مختلف با دو حل موجود برای لوله گرم و سرد.....	۷۸
شکل ۴-۳۰ لایه مرزی غلطت روی صفحه تخت.....	۸۱
شکل ۴-۳۱ نمودار سایکومتریک.....	۸۴
شکل ۴-۳۲ تغییرات ضخامت لایه مایع تشکیل شده روی سطح استوانه در زاویه ۵ درجه.....	۸۵
شکل ۴-۳۳ تغییرات ضخامت لایه مایع تشکیل شده روی سطح استوانه در زاویه ۴۰ درجه.....	۸۵
شکل ۴-۳۴ تغییرات ضخامت لایه مایع تشکیل شده روی سطح استوانه در زاویه ۹۰ درجه.....	۸۶
شکل ۴-۳۵ تغییرات ضخامت لایه مایع تشکیل شده روی سطح استوانه در زاویه ۱۶۰ درجه.....	۸۶
شکل ۴-۳۶ لایه مایع تشکیل شده در دمای سطح ۱۰ درجه سانتیگراد برای لوله ۱ اینچ.....	۸۷
شکل ۴-۳۷ تغییرات دمای سطح فیلم آب تشکیل شده روی سطح استوانه در زاویه ۵ درجه روی سطح استوانه در دمای سطح ۱۰ درجه سانتیگراد و دمای محیط ۳۰ درجه سانتیگراد.....	۸۸
شکل ۴-۳۸ تغییرات دمای سطح فیلم آب تشکیل شده روی سطح استوانه در زاویه ۳۰ درجه روی سطح استوانه در دمای سطح ۱۰ درجه سانتیگراد و دمای محیط ۳۰ درجه سانتیگراد.....	۸۹
شکل ۴-۳۹ تغییرات دمای سطح فیلم آب تشکیل شده روی سطح استوانه در زاویه ۱۰۰ درجه روی سطح استوانه در دمای سطح ۱۰ درجه سانتیگراد و دمای محیط ۳۰ درجه سانتیگراد.....	۸۹
شکل ۴-۴۰ تغییرات دمای سطح فیلم آب تشکیل شده روی سطح استوانه در زاویه ۱۶۰ درجه روی سطح استوانه در دمای سطح ۱۰ درجه سانتیگراد و دمای محیط ۳۰ درجه سانتیگراد.....	۹۰
شکل ۴-۴۱ تغییرات محلی شار گرمای جابجایی در زاویه ۵ درجه در رطوبت های نسبی مختلف نسبت به عدد بدون بعد رایلی در دمای سطح ۱۰ درجه سانتیگراد و دمای محیط ۳۰ درجه سانتیگراد.....	۹۱
شکل ۴-۴۲ تغییرات محلی شار جرمی گرمای نهان در زاویه ۵ درجه در رطوبت های نسبی مختلف نسبت به عدد بدون بعد رایلی در دمای سطح ۱۰ درجه سانتیگراد و دمای محیط ۳۰ درجه سانتیگراد.....	۹۱
شکل ۴-۴۳ تغییرات محلی شار گرمای جابجایی در زاویه ۹۰ درجه در رطوبت های نسبی مختلف نسبت به عدد بدون بعد رایلی در دمای سطح ۱۰ درجه سانتیگراد و دمای محیط ۳۰ درجه سانتیگراد.....	۹۲

- شکل ۴-۴۴ تغییرات محلی شار جرمی گرمای نهان در زاویه ۹۰ درجه در رطوبت های نسبی مختلف نسبت به عدد بدون بعد رایلی در دمای سطح ۱۰ درجه سانتیگراد و دمای محیط ۳۰ درجه سانتیگراد..... ۹۳
- شکل ۴-۴۵ تغییرات محلی شار گرمای جابجایی در زاویه ۱۷۰ درجه در رطوبت های نسبی مختلف نسبت به عدد بدون بعد رایلی در دمای سطح ۱۰ درجه سانتیگراد و دمای محیط ۳۰ درجه سانتیگراد..... ۹۳
- شکل ۴-۴۶ تغییرات محلی شار جرمی گرمای نهان در زاویه ۱۷۰ درجه در رطوبت های نسبی مختلف نسبت به عدد بدون بعد رایلی در دمای سطح ۱۰ درجه سانتیگراد و دمای محیط ۳۰ درجه سانتیگراد..... ۹۴
- شکل ۴-۴۷ تغییرات گرمای نهان آزاد شده در کل فیلم آب در رطوبتهای نسبی مختلف نسبت به عدد بدون بعد رایلی در دمای سطح ۱۰ درجه سانتیگراد و دمای محیط ۳۰ درجه سانتیگراد..... ۹۵
- شکل ۴-۴۸ میزان کل تقطیر از یک نیمه استوانه در دمای سطح ۱۰ درجه سانتیگراد و دمای محیط ۳۰ درجه سانتیگراد..... ۹۶

فهرست جداول ها

عنوان		صفحه
جدول ۴-۱ پارامترهای انتخاب شده برای بررسی جریان اطراف لوله سرد.....	۵۹	
جدول ۴-۲ شرایط در نظر گرفته شده برای حل عددی.....	۶۰	
جدول ۴-۳ مقایسه مقدار $(0)^\theta$ با کار (Osterach 1952) و میزان خطا برای هر مقدار انتخابی $\Delta\eta$	۶۱	
جدول ۴-۴ مقایسه مقادیر $(0)^\theta$ در زوایای مختلف با مقادیر ارائه شده توسط مرکین....	۶۹	
جدول ۴-۵ مقادیر ثابت رابطه مورگان برای جابجایی آزاد روی استوانه افقی.....	۷۸	
جدول ۴-۶ مقایسه عدد ناسلت متوسط با نتایج چرچیل و مورگان.....	۷۹	
جدول ۴-۷ مقایسه مقدار ناسلت متوسط در شبکه بندی های متفاوت برای استوانهای با قطر ۱ اینج.....	۸۰	
جدول ۴-۸ تعداد شبکه مورد استفاده در هر هندسه.....	۸۰	
جدول ۴-۹ ضخامت فیلم آب روی لوله ۱ اینچی در رطوبت نسبی ۱۰۰٪.....	۹۴	

علامتهای اختصاری

سطح انتقال حرارت	A
شعاع استوانه	A
غلضت	C
گرمای ویژه فشار ثابت	C_p
ضریب پخش جرمی	D
نیرو	F
نیرو، پارامتر بدون بعد	F
عدد گرانش	Gr
آنالپی، فاصله، ضریب انتقال حرارت جابجایی	H
ضریب انتقال حرارت هدایت	K
عدد لوئیس	Le
دبی جرمی	m
عدد ناسلت	Nu
فشار	P
عدد پرانتل	Pr
گرما بر واحد جرم، گرما	Q,q
عدد رینولذ	Re
درجہ حرارت	T
سرعت	U,u
سرعت	V,v
کار بر واحد جرم، کار	W,w
جهت مختصاتی	X
جهت مختصاتی	Y

حروف یونانی

ضریب انبساط گرمایی	β
ضخامت	δ
پارامتر بدون بعد	H
زاویه، پارامتر بدون بعد دما	θ
ضریب ویسکوزیته دینامیکی	μ
چگالی	ρ

فصل اول

مقدمه و مطالعات قبلی

پیرامون انتقال حرارت و انتقال جرم

انتقال حرارت و جرم همزمان کاربردهای فراوانی در صنعت دارد. در مبدل‌های حرارتی، کندانسورها، فعل و انفعالات شیمیایی و هر سیستم دیگری که عمل تقطیر در مجاورت یک گاز غیر قابل تقطیر انجام پذیرد این پدیده دارای اهمیت خواهد بود. مثلاً اگر هوای مرطوب از مجاورت سطحی سرد عبور نماید در صورتیکه دمای صفحه پایین تر از دمای نقطه شبنم هوا باشد، در مجاورت سطح لایه مرزی حرارتی و لایه مرزی مربوط به رطوبت تشکیل می‌شود. در داخل این لایه مرزی مقداری بخار به مایع تبدیل می‌شود و انرژی نهان آن آزاد می‌گردد که در این شرایط نقش انتقال جرم در افزایش انتقال حرارت به سطح در این پدیده بسیار قابل ملاحظه است.

انتقال حرارت جابجایی به دو مکانیزم اجباری و آزاد (ویا ترکیبی از این دو مکانیزم) صورت می‌پذیرد. تفاوت این دو مکانیزم در اختلاف بین حرکت سیال آنهاست. در جابجایی اجباری جریان عبوری از روی جسم دارای سرعت اولیه است، ولی در جابجایی آزاد سیال اطراف جسم ساکن است و اختلاف دمای جسم و هوای اطراف باعث تغییر در چگالی سیال شده و این اختلاف چگالی به کمک نیروی شناوری^۱ باعث ایجاد جریان خفیفی می‌شود. در صورتی که سرعت آزاد سیال اطراف جسم کم باشد ($\frac{Ra_y^{1/4}}{Re_y^{1/2} Pr^{1/3}} \approx 1$ برای سیالات با $Pr > 1$) (Bejan, 2004) انتقال حرارت جابجایی به صورت ترکیبی از دو مکانیزم آزاد و اجباری می‌باشد.

برآورد انتقال حرارت و جرم همزمان با تقطیر از هوای اشباع چه از روش تئوری و چه از طریق آزمایش بر روی صفحه تخت توسط تعدادی پژوهشگر در سالهای گذشته مورد بررسی قرار گرفته است ولی آنچه تا کنون کمتر مطالعه شده است انتقال حرارت و جرم همزمان با تقطیر از هوای مرطوب روی سطوح منحنی در حالت جابجایی آزاد است. در این پایان نامه برای مدل کردن انتقال حرارت جابجایی از دو روش نیمه تشابهی، روش نیمه تشابهی اصلاح شده استفاده شده است و سپس مطالعه فوق با کمک یک کد عددی نیز بررسی و مقایسه گردیده است. برای مدل کردن تقطیر صورت گرفته روی سطح لوله مبنای کار استفاده از تئوری ناسلت است. برای حل تمام معادلات حاکم بر مسئله با کمک حل نیمه

^۱ Buoyancy Force

تشابهی معادلات به معادلات دیفرانسیل معمولی^۱ تبدیل شده و سپس حل شده‌اند. کد عددی به روش حجم محدود بوده که در فصل سوم توضیح داده خواهد شد

۱-۳- پیشینه تحقیق

انتقال حرارت به لوله‌های سرد ساکن در هوا در شرایط مختلفی انجام می‌شود. اگر دمای لوله بالاتر از نقطه شبینم هوا باشد انتقال حرارت به صورت محسوس است و اگر دمای سطح کمتر از نقطه شبینم باشد انتقال حرارت به صورت محسوس و نهان خواهد بود. مطالعات انتقال حرارت محسوس روی هندسه‌های مختلف از جمله لوله‌های افقی به طور وسیع مورد بررسی قرار گرفته است، اما مطالعات انتقال حرارت همزمان با انتقال جرم روی لوله‌های سرد در جریان طبیعی چندان قابل ملاحظه نیست.

در این قسمت ابتدا مطالعات انجام گرفته برای جریانهای اجباری به علت تشابه فرم معادلات پیوستگی، انرژی و غلظت مرور خواهد شد و در ادامه جریانهای طبیعی تشریح خواهد گردید و سپس به بررسی کارهای صورت گرفته برای مدل کردن تقطیر با استفاده از تئوری ذره‌ای می‌پردازیم.

اسپارو و همکاران (Sparrow et al, 1967) مطالعات انتقال حرارت و جرم همزمان با تقطیر از هوای اشباع را روی یک صفحه افقی در حالت جابجایی اجباری انجام دادند. اسپارو و همکارانش در این پژوهش از روش عددی و انتگرالی^۲ برای حل معادلات متشابه^۳ استفاده گردیدند. آنها دمای صفحه را از دمای مخلوط هوا و بخار عبوری از بالای صفحه کمتر در نظر گرفتند و با وجود عمل تقطیر در مجاورت صفحه نسبت به حل معادلات حاکم اقدام نمودند. با این فرض لایه مرزی را به دو قسمت تقسیم کردند، یک قسمت مربوط به مخلوط هوا و بخار و قسمت دیگر مربوط به فیلم مایع.

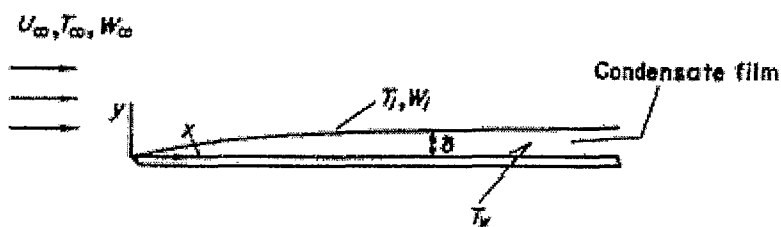
مسئله‌ای که اسپارو و همکارانش مدل کردند تنها در شرایطی قابل استفاده است که رطوبت نسبی پائین باشد و به عبارت دیگر بخار موجود در هوا در ناحیه ما فوق گرم باشد. در حالتی که هوا در حالت اشباع باشد یا از رطوبت نسبی بالایی برخوردار باشد فرضیات بعمل آمده چندان صحیح نیست، چون قطرات مایع بالاتر از صفحه تشکیل می‌شوند و دیگر نمی‌توان از گرمای نهان آزاد شده در قسمت بالای صفحه صرفنظر کرد.

¹ ODE: Ordinary Differential Equation

² Integral Method

³ Similar equations

شکل ۱-۱ نشان دهنده هندسه مورد بررسی در پژوهش اسپارو و همکارانش است، معادلات (۱-۱) تا (۴-۱) نیز معادلات حاکم بر مسئله است.



شکل ۱-۱ جریان اجباری روی صفحه تخت

$$\frac{\partial u}{\partial x} + \frac{\partial v}{\partial y} = 0 \quad (1-1)$$

$$u \frac{\partial u}{\partial x} + v \frac{\partial u}{\partial y} = \nu \frac{\partial^2 u}{\partial y^2} \quad (2-1)$$

$$u \frac{\partial T}{\partial x} + v \frac{\partial T}{\partial y} = \alpha \frac{\partial^2 T}{\partial y^2} \quad (3-1)$$

$$u \frac{\partial w}{\partial x} + v \frac{\partial w}{\partial y} = D \frac{\partial^2 w}{\partial y^2} \quad (4-1)$$

در روابط فوق D ضریب نفوذ جرمی^۱ و w نسبت جرم گاز به جرم کل است و به صورت زیر بیان می شود.

$$w = \frac{\rho_g}{(\rho_v + \rho_g)} \quad (5-1)$$

که ρ_g و ρ_v به ترتیب نشان دهنده چگالی گازهای قابل تقطیر و چگالی بخار آب است. هویکاتا و موری (Huikata & Mori, 1973) تقطیر هوای اشباع روی صفحه تخت عمودی در جریان اجباری را به روش عددی مورد بررسی قرار دادند. مرجی و هیکوتا وجود قطرات ریز

^۱ Mass diffusivity